

変動軸力と面内荷重を同時に受けるケーブルの非線形応答

長崎大学工学部 学生員 ○花田博史
長崎大学工学部 正員 高橋和雄
長崎大学工学部 学生員 山口健市

1. まえがき 著者らは、斜張橋などの支持ケーブルの支点が塔もしくは桁の振動によって変動軸力を受けケーブルが振動する場合の線形応答を報告した¹⁾。また、ケーブルは非線形項が強い構造部材であるため応答を求めるには、非線形振動論による解析が必要となり、平均法²⁾を採用することによって変動軸力と面内荷重を受ける偏平ケーブルの非線形振動を解析し、その特性を明らかにした³⁾。しかし、これまでには変動軸力の項と面内荷重の項との振動数の比が1:1($\nu=1$)を有する場合にとどまっている。そこで、本研究では変動軸力の項と面内荷重の項との振動数の比が2:1($\nu=2$)の関係にある場合を対象とし、これらの力を同時に受ける偏平ケーブルについて応答振幅に及ぼす荷重強度、サグ比、および変動軸力の影響を明らかにして $\nu=1$ の場合と比較する。

2. 解法 変動軸力と面内荷重を受ける偏平ケーブル(サグ比1/8以下)の運動方程式は次式で与えられる。

$$m \frac{\partial^2 w}{\partial t^2} + \frac{8f}{l^2} H_a - (H_e + H_t \cos \nu \Omega t + H_a) \frac{\partial^2 w}{\partial x^2} = p \cos(\Omega t + \varphi) \quad (1)$$

ここに、 $H_a = \frac{EA}{L_e} \left\{ \frac{8f}{l^2} \int_0^l w dx + \int_0^l \left(\frac{\partial w}{\partial x} \right)^2 dx \right\}$:たわみによる付加水平張力, m :ケーブルの単位長さあたりの質量, f :ケーブルのサグ, l :スパン長, H_e :初期水平張力, H_t :変動軸力の振幅, p :荷重強度, w :たわみ, t :時間, $\nu \Omega$:変動軸力の円振動数, Ω :外力の円振動数, φ :位相角, E :ヤング率, A :断面積, L_e :ケーブル長(図-1参照)。

式(1)の解を次のように1自由度系に仮定する。

$$w = IT(t)W(x) \quad (2)$$

ここに、 T :時間関数, W :座標関数で線形振動の固有振動形

式(2)を式(1)に代入して、Galerkin法を適用すれば時間に関する

運動方程式が得られる。これに粘性減衰力を考慮すると

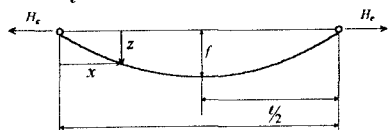


図-1 ケーブルの一般図

$$\ddot{T} + 2h\omega_1 \dot{T} + (\omega_1^2 + C_1 \bar{H}_t \cos \nu \bar{\omega} \tau) T + C_2 T^2 + C_3 T^3 = C_4 \bar{p}_0 \cos(\bar{\omega} \tau + \varphi) \quad (3)$$

ここに、 ω_1 :1次振動の無次元固有円振動数, h :減衰定数, $\bar{H}_t = H_t / H_e$:無次元変動軸力の振幅, $\bar{\omega} = \Omega / n_0$:無次元加振円振動数, $\bar{p}_0 = p_0 / H_e$, $\tau = n_0 t$:無次元時間, $n_0 = \sqrt{H_e \pi^2 / ml^2}$:弦の第1次の固有円振動数, C_2, C_3 :非線形項の係数。なお、 $\omega_1, C_1, C_2, C_3, C_4$ はケーブルのサグ比 $\gamma = f / l$ 、および縦波-横波伝播速度比 $k = \sqrt{EA / H_e}$ および W より定まる。

式(3)の定常解を得るために、調和バランス法を用いる。まず、近似解を次式で仮定する。

$$T = c_0 + c_{1/2} \cos \frac{\bar{\omega} \tau}{2} + s_{1/2} \sin \frac{\bar{\omega} \tau}{2} + c_1 \cos \bar{\omega} \tau + s_1 \sin \bar{\omega} \tau \quad (4)$$

ここに、 c_0, c_1, s_1 :付随調波成分, $c_{1/2}, s_{1/2}$:分岐調波成分

式(4)を式(3)に代入して調和バランス法を適用すると、非線形連立代数方程式が得られる。

この方程式にNewton-Raphson法を用い、初期値を入れて解けば振幅成分が得られる。また、式(4)を2元連立の1階常微分方程式に変換し、Runge-Kutta-Gill法を用いると時間応答が得られる。

3. 解析結果

本研究は、 $\nu=2$ の場合の解析を行った。

(1) $\nu=1$ の場合との比較 $\nu=1$ と $\nu=2$ の場合との比較を図-2と図-3の応答曲線で示す。ここで、サグ比 $\gamma = 0.02$ 、無次元変動軸力の振幅 $\bar{H}_t = 0.3$ 、荷重強度 $\bar{p}_0 = 0.3$ 、縦波-横波伝播速度比 $k = 30$ としている。縦軸はスパン長で無次元化した無次元応答振幅、横軸は弦の第1次の固有円振動数で無次元化した無次元加振円振動数である。また、数値シミュレーションによる最大応答を○でプロットした。解析解と数値解はよく一致している。どちらも変動軸力と面内荷重を受けるため、あらゆる振動数領域に応答は現れ固有振動数(ω_1

$\nu = 1.68$ ）と固有振動数の2倍（ $2\omega_1 = 3.36$ ）付近の領域でそれぞれ主調波応答、1/2 分数調波共振の応答が成長している。また、サグ比 $\gamma = 0.02$ では応答は軟化バネ特性を示している。 $\nu = 1$ の場合、変動軸力の影響が固有振動数の2倍付近で強く現れ、1/2 分数調波共振の応答を増大させ、加振振動数を大きくすると新たに分岐した応答が出現しているが、 $\nu = 2$ の場合は変動軸力の影響は小さく応答は増大せずピークをもっている。しかし、発生する振動数領域は広くなっている。主調波応答に関しては、 $\nu = 2$ の場合に変動軸力の影響によって $\bar{\omega} = 1.5$ 付近に分岐応答が現れる。

(2) サグ比の影響 図-4 は、変動軸力の振幅 $\bar{H}_t = 0.3$ 、荷重強度 $\bar{p}_0 = 0.3$ 、縦波-横波伝播速度比 $k = 30$ とし、サグ比 γ をパラメータに示した応答曲線である。 $\gamma = 0.01, 0.02, 0.03$ をそれぞれ実線、破線、一点破線で区別している。 $\gamma = 0.01$ は硬化バネ特性、 $\gamma = 0.02, 0.03$ は軟化バネ特性を示す。サグ比が大きくなると 1/2 分数調波共振の発生する領域が広がるが、振幅の大きさに変化は見られない。また $\gamma = 0.01, 0.03$ の場合は、主調波応答の固有振動数付近に分岐する応答が発生しない。

(3) 変動軸力の影響 図-5 は、サグ比 $\gamma = 0.02$ 、荷重強度 $\bar{p}_0 = 0.2$ 、縦波-横波伝播速度比 $k = 30$ とし、変動軸力の影響を調べるために変動軸力の振幅を $\bar{H}_t = 0.0$ と 0.3 で比較した応答曲線である。実線は $\bar{H}_t = 0.3$ 、破線は $\bar{H}_t = 0.0$ である。 $\bar{H}_t = 0.0$ の場合は面内荷重のみを受ける強制振動であり、主調波応答と 1/2 分数調波共振の応答がそれぞれ出現している。変動軸力を加えることによって 1/2 分数調波共振の発生領域が広がるが、その振幅は変化しない。しかし、主調波応答において固有振動数付近に分岐した応答が現れ、振幅が大きくなる。ここでも、 $\nu = 2$ の場合は変動軸力の影響が固有振動数の2倍付近よりも固有振動数付近の領域において現れると考えられる。

まとめ 変動軸力の項と面内荷重の項の振動数の比が 2 : 1 でケーブルに作用する場合の非線形応答について解析した。荷重強度の影響を含め、詳しい結果については当日発表する。

- 参考文献
- 1) 高橋・鎌田・町田・松野: 土木学会論文集, No.495/I-28, pp.127-130, 1994.7
 - 2) 井上順吉: 機械力学, 理工学社, pp.199~227, 1982
 - 3) 高橋・花田・鎌田・山口: 構造工学における数値解析シンポジウム論文集, 第 19 卷, pp.397~402, 1995. 7

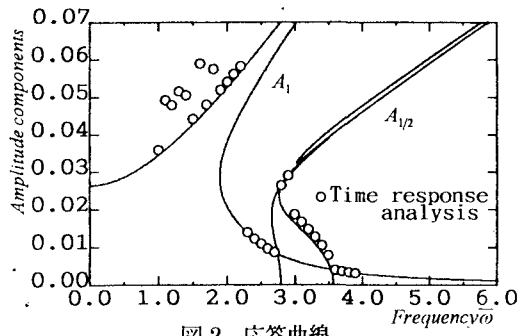


図-2 応答曲線
($v = 1, \gamma = 0.02, \bar{H}_t = 0.3, \bar{p}_0 = 0.3, k = 30$)

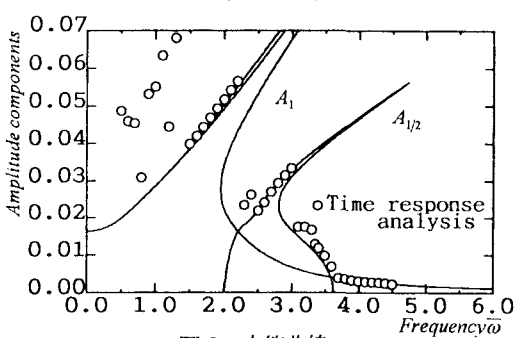


図-3 応答曲線
($v = 2, \gamma = 0.02, \bar{H}_t = 0.3, \bar{p}_0 = 0.3, k = 30$)

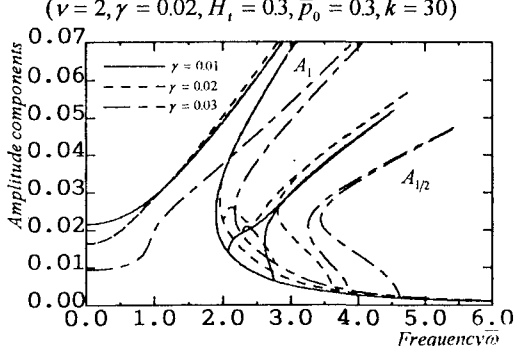


図-4 応答曲線 ($\bar{H}_t = 0.3, \bar{p}_0 = 0.3, k = 30$)

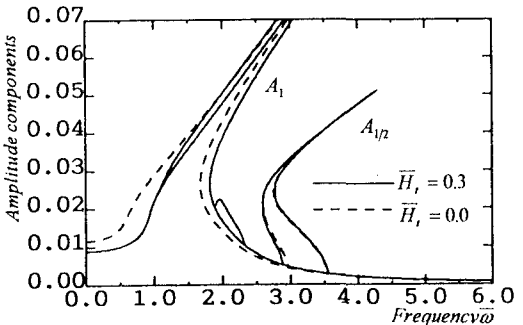


図-5 応答曲線 ($\gamma = 0.02, \bar{p}_0 = 0.2, k = 30$)